

## Antinociceptive Effect of Curcumin, an Effective Constituent of Turmeric, in Diabetic Rats and Evaluation of the Involvement of Lipid Peroxidation

Mehrdad Roghani<sup>1,2</sup>, Tourandokht Baluchnejadmojarad<sup>3</sup>

1- Professor, Neurophysiology Research Center, Shahed University, Tehran, Iran

2- Professor, Department of Physiology, Faculty of Medicine, Shahed University, Tehran, Iran

3- Professor, Department of Physiology, Faculty of Medicine, Tehran University of Medical Sciences, Tehran, Iran

*\*Corresponding Address: P.O.Code: 1411713116, Department of Physiology, Faculty of Medicine, Shahed University, Tehran, Iran  
Email: mehjour@yahoo.com*

Received: 07/Dec/2011, Accepted: 07/May/2012

### Abstract

**Objective:** This study was designed to investigate the antinociceptive effect of curcumin in diabetic rats by using the formalin and hot tail immersion tests.

**Methods:** Wistar rats were divided into the following six groups: control; curcumin-treated control (50 mg/kg); diabetic; sodium salicylate (SS)-treated diabetic; and two curcumin-treated diabetic groups (10 and 50 mg/kg). Curcumin was administered seven days after streptozotocin injection for a total of five weeks.

**Results:** High-dose curcumin treatment of diabetic rats reduced the pain score in both acute and chronic phases of the formalin test ( $p < 0.05$ ). SS-treated diabetic rats had a reduction in pain score only in the chronic phase of the formalin test ( $p < 0.05$ ). In the hot tail immersion test, diabetic rats showed a significant reduction in tail flick latency compared to the control group ( $p < 0.01$ ). High-dose curcumin treated diabetic rats showed significantly increased latency relative to untreated diabetic rats ( $p < 0.05$ ). Diabetic rats also showed a significant increase in the tissue level of malondialdehyde (MDA;  $p < 0.01$ ). High-dose curcumin treated diabetic rats had a significantly reduced level of MDA ( $p < 0.05$ ).

**Conclusion:** Chronic administration of curcumin could attenuate the nociceptive score in both the acute and chronic phases of the formalin test in a streptozotocin-induced experimental model of diabetes mellitus and increase thermal pain threshold. The beneficial effect of curcumin is partly attributed to attenuation of lipid peroxidation in the periphery.

**Keywords:** Curcumin, Diabetes mellitus, Pain, Lipid peroxidation

Modares Journal of Medical Sciences: *Pathobiology*, Vol 15, No 1, Spring 2012, Pages: 23-32

# بررسی اثر ضدردی کورکومین، ماده مؤثر زردچوبه، در موش صحرایی دیابتی و ارزیابی نقش پراکسیداسیون لیپیدی

مهرداد روغنی<sup>۱\*</sup>، توراندخت بلوچ نژاد مجرد<sup>۲</sup>

۱- استاد، مرکز تحقیقات نوروفیزیولوژی، دانشگاه شاهد، تهران، ایران

۲- استاد، گروه فیزیولوژی، دانشکده پزشکی، دانشگاه شاهد، تهران، ایران

۳- استاد، گروه فیزیولوژی، دانشکده پزشکی، دانشگاه علوم پزشکی تهران، تهران، ایران

آدرس نویسنده مسئول: ایران، تهران، کدپستی: ۱۴۱۵۶۳۵۱۱۱، بلوار کشاورز، خیابان شهید عبدالله زاده (دهکده)، دانشکده پزشکی شاهد، گروه فیزیولوژی  
Email: mehjour@yahoo.com

پذیرش مقاله: ۹۱/۰۲/۱۷

دریافت مقاله: ۹۰/۰۹/۱۶

## چکیده

**هدف:** در این مطالعه اثر ضد درد کورکومین در موش‌های صحرایی دیابتی در دو آزمون فرمالین و غوطه‌ور کردن دم در آب داغ بررسی شد.

**مواد و روش‌ها:** موش‌های صحرایی به شش گروه کنترل، کنترل تحت تیمار با کورکومین، دیابتی، دیابتی دریافت کننده سدیم سالیسیلات، و دو گروه دیابتی تحت تیمار با کورکومین (۱۰ و ۵۰ میلی‌گرم بر کیلوگرم) تقسیم شدند. کورکومین ۷ روز پس از تزریق استرپتوزوتوسین به مدت ۵ هفته تجویز شد.

**نتایج:** تیمار با کورکومین در دوز بالا موجب کاهش معنی‌دار در نمرات درد موش‌های دیابتی در مقایسه با گروه دیابتی در دو مرحله حاد و مزمن آزمون فرمالین شد ( $P < 0/05$ ). تزریق سدیم سالیسیلات نیز موجب کاهش معنی‌دار درد در مرحله مزمن آزمون فرمالین شد ( $P < 0/05$ ). به علاوه؛ در گروه دیابتی یک کاهش معنی‌دار در مدت تأخیر در بیرون کشیدن دم در مقایسه با گروه کنترل مشاهده شد ( $P < 0/01$ ) و تیمار موش‌های دیابتی با کورکومین در دوز بالا موجب افزایش معنی‌دار این زمان تأخیر در مقایسه با گروه دیابتی شد ( $P < 0/05$ ). همچنین موش‌های دیابتی افزایش معنی‌داری را در سطح سرمی مالون دی آلدئید ( $P < 0/01$ ) نشان دادند و تیمار با کورکومین در دوز بالا میزان مالون دی آلدئید را به صورت معنی‌دار کاهش داد ( $P < 0/05$ ).

**نتیجه‌گیری:** تجویز کورکومین موجب کاهش شدت احساس درد در دو مرحله حاد و مزمن آزمون فرمالین در موش‌های دیابتی می‌شود و آستانه درد حرارتی را افزایش می‌دهد و بخشی از آثار سودمند آن از طریق کاهش پراکسیداسیون لیپیدی اعمال می‌شود.

**کلیدواژگان:** کورکومین، دیابت قندی، درد، پراکسیداسیون لیپیدی

مجله علوم پزشکی مدرس: آسیب‌شناسی زیستی، دوره ۱۵، شماره ۱، بهار ۱۳۹۱، صفحات: ۲۳-۳۲

## مقدمه

درگیر نمودن سیستم اعصاب، با عوارض نامطلوب متعدد نظیر نوروپاتی (Neuropathy) همراه است [۱، ۲]. درد ناشی از

دیابت قندی (Diabetes Mellitus) در دراز مدت با

## مواد و روش‌ها

در این مطالعه تجربی از ۴۸ سر موش صحرایی نر سفید نژاد ویستار (Wistar) (انستیتو پاستور، تهران) در محدوده وزنی ۲۱۵-۲۸۵ گرم استفاده شد. تمام حیوانات در دمای ۲۱-۲۳ درجه سانتی‌گراد در گروه‌های ۳ تا ۴ تایی در هر قفس قرار داده شدند. حیوانات آزادانه به آب لوله‌کشی و غذای مخصوص موش به مدت ۶ هفته دسترسی داشتند. در ضمن بررسی براساس برنامه‌ها و دستورالعمل‌های توصیه شده توسط انستیتو ملی بهداشت آمریکا (National Institutes of Health: NIH) برای نگهداری و استفاده از حیوانات آزمایشگاهی و راه‌کارهای عملی موجود در داخل کشور به انجام رسید.

در این بررسی از آن دسته موش‌های صحرایی نر استفاده شد که در شرایط طبیعی و در حالت روزه‌داری (به مدت یک شب)، میزان گلوکز سرم آن‌ها کمتر از ۲۵۰ میلی‌گرم بر دسی‌لیتر بود. در این خصوص از شبکه رترواوربیتال (Retro Orbital) و لوله موئینه برای خونگیری استفاده شد. حجم خون اخذ شده از هر حیوان نیز حدود ۱ میلی‌لیتر بود. موش‌ها به‌طور تصادفی به ۶ گروه کنترل، کنترل تحت تیمار با کورکومین (Sigma، آلمان) (۵۰ میلی‌گرم بر کیلوگرم)، دیابتی، دیابتی دریافت کننده سدیم سالیسیلات (کنترل مثبت) و دو گروه دیابتی تحت تیمار با کورکومین (۱۰ و ۵۰ میلی‌گرم بر کیلوگرم) تقسیم شدند. کورکومین هفت روز پس از تزریق استرپتوزوتوسین به مدت ۵ هفته (داخل صفاقی و روزانه) تجویز شد. برای دیابتی نمودن موش‌ها از داروی استرپتوزوتوسین (Sigma، آمریکا) به صورت تک دوز و داخل صفاقی به میزان ۶۰ میلی‌گرم بر کیلوگرم حل شده در محلول سالین (Saline Solution) فیزیولوژیک سرد استفاده شد. سدیم سالیسیلات نیز به میزان ۲۰۰ میلی‌گرم بر کیلوگرم ۶۰ دقیقه قبل از انجام آزمون فرمالین به‌طور داخل صفاقی تزریق شد. یک هفته پس از تزریق برای اطمینان از دیابتی بودن حیوانات، قند ادرار به روش نوار ادراری (شرکت گلوکویاب، تهران) کنترل شد و فقط حیوانات دیابتی با میزان قند ادرار بالاتر از ۵۰ میلی‌گرم بر دسی‌لیتر که با میزان قند خون بالاتر

نوروپاتی اعصاب محیطی یکی از شکایات مهم بالینی افراد مبتلا به دیابت قندی محسوب می‌شود [۳، ۴]. بروز هیپرگلیسمی (Hyperglycemia) با اعمال آثار سمی بر سیستم عصبی محیطی یکی از علل بروز نوروپاتی دردناک است [۵، ۶]. با توجه به این‌که تاکنون ترکیبات دارویی مناسب [نظیر سالیسیلات‌ها (Salicylates) و ترکیبات ضد التهابی غیر استروئیدی] عاری از عوارض جانبی برای درمان برخی حالات درد حاد و مزمن به‌ویژه در حالت دیابت قندی نبوده است [۷]، بنابراین گیاهان دارویی و مواد مؤثر استخراج شده از آن‌ها مورد توجه محققان قرار گرفته است. در این باره کورکومین (Curcumin) مهم‌ترین ماده مؤثر گیاه زردچوبه با نام علمی کورکومین لونگا (*Curcuma longa*) است که دارای خاصیت آنتی‌اکسیدانی قابل توجه است [۸، ۹]، سبب کاهش رادیکال‌های آزاد و مهار پراکسیداسیون لیپیدها و افزایش فعالیت سوپراکسید دیسموتاز (Superoxide Dismutase) می‌شود [۱۰]، دارای اثر ضد التهابی است [۱۱]، سبب کاهش چربی و قند خون [۱۲] و موجب بهبود حافظه در مدل تجربی آلزایمر (Alzheimer's) ناشی از تزریق داخل بطنی استرپتوزوتوسین (Streptozotocin) می‌شود [۸]. به علاوه اثر ضد دردی آن در هیپرآلژزی حرارتی (Thermal Hyperalgesia) در مدل تجربی و مزمن دیابت القا شده با استرپتوزوتوسین در موش سوری [۱۳، ۱۴] و اثر ضد دردی آن در مدل تجربی درد نوروپاتیک (Neuropathic Pain) با استفاده از فشردگی مزمن عصب تأیید شده است [۱۵]. بنابراین با در نظر گرفتن آثار ضد دیابتی، ضد التهابی و آنتی‌اکسیدانی کورکومین و فقدان مطلب در مورد اثر ضد دردی تجویز دراز مدت آن و این‌که آثار ضد دردی آن در سایر آزمون‌های سنجش درد نظیر آزمون فرمالین نیز مطرح است، هدف از انجام این مطالعه بررسی اثر ضد دردی تجویز خوراکی و دراز مدت دو دوز پایین و بالای این ماده در مدل تجربی دیابت قندی القا شده توسط داروی استرپتوزوتوسین در موش صحرایی نر به کمک دو آزمون فرمالین و غوطه‌ور کردن دم در آب داغ بود و به علاوه دخالت پراکسیداسیون لیپیدی در بروز اثر آن نیز تعیین شد.

بعد از تزریق فرمالین به عنوان مرحله اول یا حاد و در دقایق ۱۶ تا ۶۰ به عنوان مرحله دوم یا مزمن در نظر گرفته شد.

### آزمون غوطه‌ور کردن دم در آب داغ

این آزمون به روش توصیف شده توسط کورتیکس (Courteix) و همکاران [۱۷] انجام پذیرفت. برای انجام این کار حیوان به مدت ۱۵ دقیقه در داخل محفظه محدود کننده موش در تحت شرایط استاندارد آزمایشگاه قرار گرفته و سپس دم حیوان در داخل آب گرم در دمای ۴۹ درجه سانتی‌گراد قرار گرفت و میزان تأخیر در بیرون کشیدن دم از آب با استفاده از زمان‌سنج اندازه‌گیری شد. هر آزمایش در مورد هر حیوان ۴ بار با فاصله زمانی ۵ دقیقه تکرار شد و در نهایت میانگین داده در مورد هر موش ثبت شد. زمان قطع آزمایش در صورت بیرون نکشیدن دم نیز ۳۰ ثانیه در نظر گرفته شد.

### سنجش مالون دی آلدیید (Malondialdehyde: MDA)

#### MDA سرم

در پایان کار، خونگیری از شبکه رترواریتال تحت بیهوشی ملایم انجام و پس از جداسازی سرم، شاخص پراکسیداسیون لیپیدی (MDA) اندازه‌گیری شد. اندازه‌گیری سطح MDA با توجه به روشی است که اساس آن واکنش تیوباربتوریک اسید (Thiobarbituric Acid: TBA) است که در دمای جوش انجام می‌گیرد. در این آزمایش MDA یا مواد شبه MDA با TBA واکنش داده و رنگ صورتی ایجاد می‌کند که حداکثر جذب نوری آن در طول موج ۵۳۲ نانومتر است. این واکنش در pH: ۲-۳ و در دمای ۹۰ درجه سانتی‌گراد به مدت ۷۵ دقیقه انجام شد. بعد از سرد کردن نمونه، محلول‌ها در دور ۳۰۰۰ دور به مدت ۱۰ دقیقه سانتریفوژ شد و جذب نوری آن‌ها در طول موج ۵۳۲ نانومتر در دستگاه اسپکتروفتومتر خوانده شد. منحنی استاندارد نیز براساس رقت‌های تترا اتوکسی پروپان (Tetraethoxypropane) تهیه و جذب‌های نوری به دست آمده

از ۲۵۰ میلی‌گرم بر دسی‌لیتر با در نظر گرفتن آستانه فیزیولوژیک ظهور قند در ادرار برابری می‌کند به مرحله بعدی برای شروع تیمار راه یافتند. البته در روزهای بعد علایم بارز دیابت نظیر پرخوری، پرنوشی، دیورز (Diuresis) و کاهش وزن نیز در برخی موش‌ها به تدریج دیده شد. ضمناً کاهش وزن در پایان کار در تمام موش‌ها دیده شد. تعیین میزان وزن حیوانات قبل از انجام کار و طی هفته‌های ۳ و ۶ پس از بررسی به انجام رسید. همچنین اندازه‌گیری میزان گلوکز سرم توسط روش آنزیمی گلوکز اکسیداز (شرکت زیست‌شیمی، تهران) با استفاده از اسپکتروفتومتر (اسپکترونیک ۲۰، Thermospectronic، آمریکا) انجام شد.

### آزمون فرمالین

از نظر زمانی این آزمون در مورد تمام موش‌ها در بین ساعات ۱۲-۱۷ و ۲-۳ روز پس از انجام آزمون غوطه‌ور کردن دم در آب گرم انجام پذیرفت. برای انجام آن نیز از روش متداول دایسون و دنیس (Dubuisson and Dennis) استفاده شد [۱۶]، بدین ترتیب که حیوان در یک محفظه از جنس پلکسی‌گلاس (Plexiglass) (۴۰ × ۴۰ × ۴۰ سانتی‌متر) تحت شرایط آرام قرار گرفته و پس از گذشت ۱۵ دقیقه، ۵۰ میکرولیتر از محلول فرمالین ۲/۵ درصد به صورت زیر جلدی به کف پای حیوان تزریق شد و شدت درد حیوان براساس تقسیم‌بندی زیر به چهار درجه تفکیک شد: ۰- حیوان بدون توجه به پای تزریق شده می‌نشیند یا راه می‌رود. ۱- پای حیوان با محفظه تماس داشته ولی حیوان وزن بدن خود را بیشتر روی پای سالم خود می‌اندازد. ۲- حیوان پنجه دردناک را کاملاً از سطح محفظه بلند می‌نماید. ۳- حیوان پنجه تزریق شده را از شدت درد می‌لیسد، گاز می‌گیرد یا به شدت تکان می‌دهد. ثبت پاسخ‌های رفتاری بلافاصله پس از تزریق فرمالین آغاز و تا دقیقه ۶۰ ادامه یافت. در این ارتباط پاسخ در هر ۱۵ ثانیه ثبت و به عنوان شاخصی از میزان درد در آزمون فرمالین در نظر گرفته شد. با استفاده از این روش اعداد ۰ تا ۳ برای امتیاز درد در زمان‌های مختلف به دست آمد. میانگین درد در ده دقیقه اول

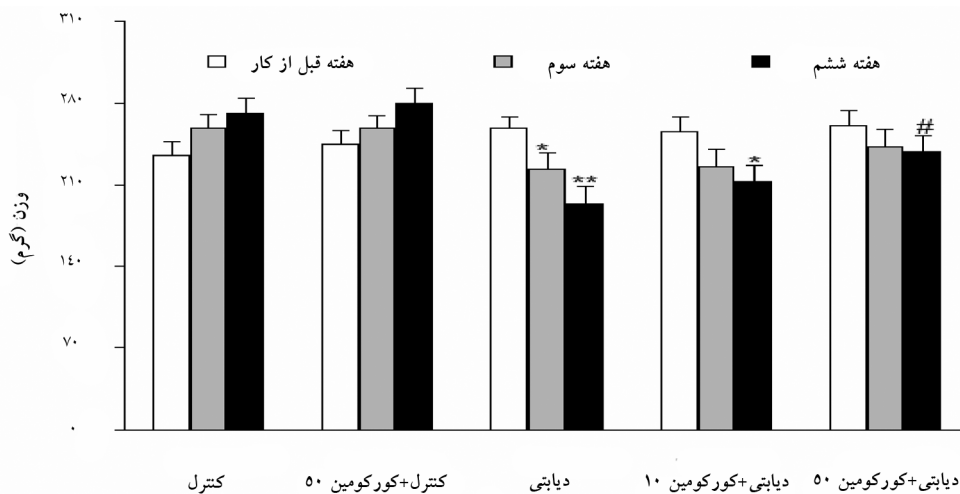
### اثر ضد دردی کورکومین در موش صحرایی دیابتی

آماری در مورد نتایج وزن و گلوکز از آزمون آنووا (ANOVA) با اندازه‌گیری مکرر استفاده شد. در مورد نتایج درد نیز از آزمون آنوای یک‌طرفه (one way ANOVA) و آزمون توکی (Tukey Test) استفاده شد. به علاوه،  $P < 0.05$  به عنوان سطح معنی‌دار در نظر گرفته شد.

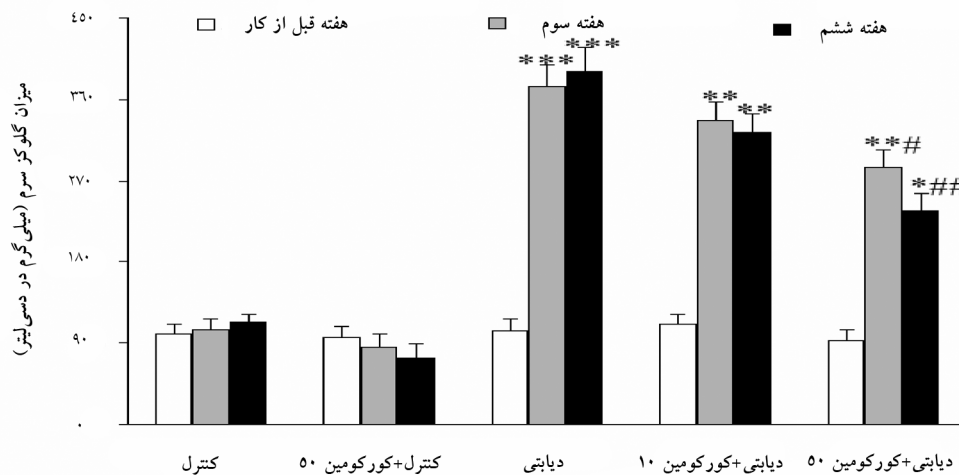
از نمونه‌ها روی منحنی استاندارد تطبیق داده شد.

### تجزیه و تحلیل آماری

تمام داده‌ها در بررسی حاضر به صورت میانگین  $\pm$  انحراف معیار استاندارد (Mean  $\pm$  SEM) بیان شد. برای تجزیه و تحلیل



نمودار ۱ تغییرات میزان وزن حیوان‌ها در هفته قبل از کار و هفته‌های سوم و ششم بعد از کار در موش‌های صحرایی کنترل و دیابتی تیمار شده، \*  $P < 0.05$ ، \*\*  $P < 0.01$  (در مقایسه با نتایج هفته قبل از کار در هر گروه)، #  $P < 0.05$  (در مقایسه با گروه دیابتی)



نمودار ۲ میزان گلوکز سرم در هفته قبل از کار و هفته‌های سوم و ششم بعد از کار در موش‌های صحرایی کنترل و دیابتی تیمار، \*  $P < 0.05$ ، \*\*  $P < 0.01$ ، \*\*\*  $P < 0.005$  (در مقایسه با نتایج هفته قبل از کار در هر گروه)، #  $P < 0.05$ ، ##  $P < 0.01$  (در مقایسه با گروه دیابتی)

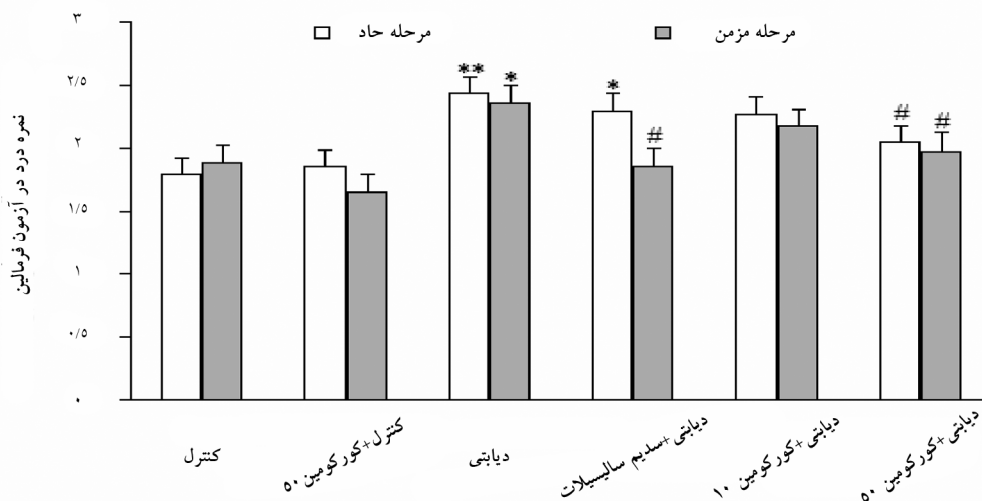
## نتایج

هیچ‌گونه تفاوت معنی‌داری از نظر وزن بین گروه‌ها در هفته قبل کار (سطح پایه) مشاهده نشد. گروه کنترل تحت تیمار با دوز بالای کورکومین به میزان ۵۰ میلی‌گرم بر کیلوگرم مشابه گروه کنترل، یک افزایش طبیعی وزن را در پایان هفته ششم نشان داد. در گروه دیابتی در هفته ششم یک کاهش معنی‌دار در مقایسه با هفته قبل بررسی ( $P < 0/01$ ) مشاهده شد. همین وضعیت در مورد گروه دیابتی دریافت‌کننده کورکومین به میزان ۱۰ میلی‌گرم بر کیلوگرم ولی در حد کمتر وجود داشت ( $P < 0/05$ ). از طرف دیگر؛ کاهش وزن در گروه دیابتی تحت تیمار با دوز بالای کورکومین (۵۰ میلی‌گرم بر کیلوگرم) در مقایسه با گروه دیابتی در هفته ششم به‌طور معنی‌داری کمتر بود ( $P < 0/05$ ) (نمودار ۱).

درباره میزان گلوکز سرم در هفته قبل از بررسی تفاوت معنی‌داری بین گروه‌ها مشاهده نشد. در هفته ششم میزان گلوکز سرم در گروه دیابتی و گروه‌های دیابتی تحت تیمار با کورکومین در حد معنی‌دار ( $P < 0/0005$  تا  $P < 0/005$ ) بیشتر

از گروه کنترل بود؛ هر چند که با افزایش دوز کورکومین، افزایش میزان گلوکز سرم تخفیف یافت. به علاوه؛ در گروه دیابتی تحت تیمار با دوز بالای کورکومین، میزان گلوکز سرم در هفته ششم به‌طور معنی‌دار کمتر از گروه دیابتی تیمار نشده بود ( $P < 0/01$ ). به علاوه گروه کنترل تحت تیمار با کورکومین کاهش معنی‌دار این پارامتر را در مقایسه با گروه کنترل نشان نداد (نمودار ۲).

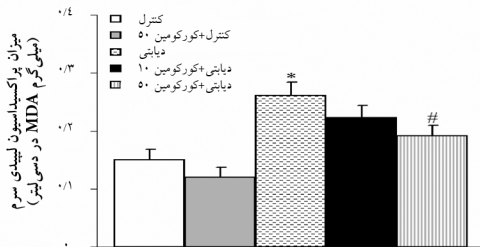
در آزمون فرمالین (نمودار ۳)، تزریق کف پای فرمالین یک پاسخ بارز دو فازی را در تمام گروه‌ها ایجاد نمود. هیپرالژزی ظاهر شده به دنبال تزریق کف پای فرمالین در موش‌های دیابتی تیمار نشده در هر دو مرحله آزمون به‌ویژه مرحله حاد بیشتر از گروه کنترل بود ( $P < 0/05-0/01$ ). به علاوه تجویز سدیم سالیسیلات به موش‌های گروه دیابتی موجب کاهش معنی‌دار نمره درد فقط در مرحله دوم آزمون فرمالین در مقایسه با گروه‌های دیابتی تیمار نشده شد ( $P < 0/05$ ). از طرف دیگر؛ تیمار با کورکومین در دوز بالا به‌مدت پنج هفته موجب کاهش معنی‌داری در نمرات درد در مقایسه با گروه دیابتی در دو مرحله حاد و مزمن آزمون شد ( $P < 0/05$ ).



نمودار ۳ شدت درد در دو مرحله حاد و مزمن آزمون فرمالین در موش‌های صحرایی کنترل و دیابتی تحت تیمار پس از گذشت ۶ هفته، \*  $P < 0/05$ ، \*\*  $P < 0/01$  (در مقایسه با گروه کنترل)، #  $P < 0/05$  (در مقایسه با گروه دیابتی)

## اثر ضد دردی کورکومین در موش صحرایی دیابتی

هفته ششم به طور معنی داری کمتر از گروه دیابتی تیمار نشده بود ( $P < 0/05$ ) (نمودار ۵).



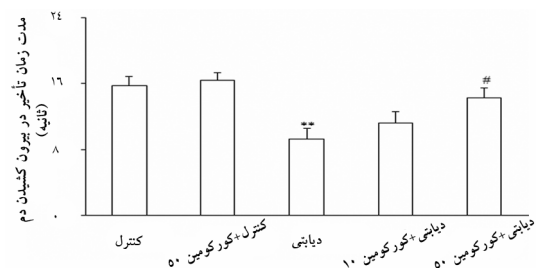
نمودار ۵ میزان MDA سرم در موش های صحرایی کنترل و دیابتی تیمار شده با کورکومین، \*  $P < 0/05$ ، \*\*  $P < 0/01$  (در مقایسه با گروه کنترل)، #  $P < 0/05$  (در مقایسه با گروه دیابتی)

## بحث

نتایج بررسی حاضر نشان داد که تیمار با کورکومین در دوز بالا موجب کاهش معنی دار در نمرات درد موش های دیابتی در مقایسه با گروه دیابتی در دو مرحله حاد و مزمن آزمون فرمالین می شود، تجویز سدیم سالیسیلات به موش های دیابتی کاهش معنی دار در نمره درد فقط در مرحله مزمن را به دنبال دارد. در مورد آزمون غوطه ور کردن دم در آب داغ نیز در گروه دیابتی کاهش معنی دار در مدت تأخیر در بیرون کشیدن دم در مقایسه با گروه کنترل مشاهده شد و تیمار موش های دیابتی با کورکومین در دوز بالا موجب افزایش معنی دار این زمان تأخیر در مقایسه با گروه دیابتی شد. همچنین موش های دیابتی افزایش معنی داری را در سطح سرمی MDA نشان دادند و تیمار با کورکومین در دوز بالا میزان MDA را به صورت معنی دار کاهش داد.

نتایج تحقیقات قبلی نشان داده است که موش های صحرایی دیابتی شده توسط استرپتوزوتوسین به طور غیر منتظره یک رفتار تشدید شده مربوط به درد را در آزمون فرمالین به دنبال تجویز محرک های شیمیایی به داخل پنجه پا پس از گذشت حداقل ۳ تا ۴ هفته نشان می دهند که خود دلالت بر وجود مکانیسم های غیر طبیعی و متعدد در پردازش پیام های

در آزمون غوطه ور کردن دم در آب داغ که برای سنجش آستانه درد حرارتی کاربرد دارد (نمودار ۴) در گروه دیابتی یک کاهش معنی دار در مدت تأخیر در بیرون کشیدن دم در مقایسه با گروه کنترل مشاهده شد ( $P < 0/01$ ) که خود نشان دهنده بروز هیپرآلژزی حرارتی در موش های دیابتی شش هفته پس از تزریق استرپتوزوتوسین است. به علاوه؛ تیمار موش های دیابتی با کورکومین در دوز بالا به مدت ۵ هفته موجب افزایش معنی دار این زمان تأخیر در مقایسه با گروه دیابتی شد ( $P < 0/05$ ). همچنین تیمار موش های گروه کنترل با کورکومین نیز تفاوت معنی داری را از این نظر در مقایسه با گروه کنترل ایجاد نکرد.



نمودار ۴ مدت زمان تأخیر در بیرون کشیدن دم از آب داغ در موش های صحرایی کنترل و دیابتی تحت تیمار پس از گذشت ۶ هفته، \*  $P < 0/05$ ، \*\*  $P < 0/01$  (در مقایسه با گروه کنترل)، #  $P < 0/05$  (در مقایسه با گروه دیابتی)

با اندازه گیری سطح MDA در سرم در گروه های مختلف در پایان هفته ششم که شاخصی از استرس اکسیداتیو و یک شاخص معتبر پراکسیداسیون لیپیدی در نواحی محیطی بدن محسوب می شود، مشخص شد که این پارامتر در گروه کنترل تحت تیمار با کورکومین در دوز بالا یک کاهش مختصر و غیر معنی دار نسبت به گروه کنترل نشان می دهد. در گروه دیابتی در پایان هفته ششم سطح MDA یک افزایش قابل ملاحظه و معنی دار نسبت به گروه کنترل نشان داد ( $P < 0/01$ ) و در گروه دیابتی تحت تیمار با کورکومین در دوز بالا میزان افزایش MDA نسبت به گروه دیابتی کمتر بود به طوری که در گروه دیابتی تحت تیمار با دوز بالای کورکومین، سطح MDA در

محیطی درد دارد [۱۸، ۱۹]. قبلاً وجود هیپرالژزی مکانیکی به عنوان اولین نشانگان نوروپاتی دیابتیک به اثبات رسیده است که علت آن تا حدودی به آثار سمی مقادیر بالای گلوکز بر سیستم عصبی محیطی و فعال شدن مسیرهای بیوشیمیایی آلدوز ردوکتاز (Aldose Reductase) و الکل‌های با چند گروه هیدروکسیل نسبت داده شده است [۱۸]. به علاوه وجود حالت دیابت پردازش پیام‌های درد را در ناحیه نخاع تحت تأثیر قرار می‌دهد [۱۹]. همچنین کاهش آستانه درد حرارتی در موش‌های دیابتی شده در آزمون غوطه‌ور کردن دم در آب داغ نیز اثبات شده است [۲۰]. از طرف دیگر؛ نتایج تحقیقات اخیر نشان می‌دهد که موش‌های صحرایی دیابتی شده توسط استرپتوزوتوسین را می‌توان به عنوان مدل درد مزمن به حساب آورد که در مورد آن نشانه‌های هیپرالژزی و آلدودینی (Allodynia) در کوتاه مدت (۱ الی ۲ ماه) به خوبی مشاهده می‌شود [۲۱]. با توجه به این‌که در فاز مزمن آزمون فرمالین در موجودات سالم و دیابتی شده مکانیسم‌های محیطی و در فاز حاد آن مکانیسم‌های مرکزی دخالت دارد [۲۲، ۲۳] و تزریق داخل صفاقی سدیم سالیسیلات به موش‌های گروه کنترل و دیابتی موجب کاهش میزان احساس درد فقط در فاز دوم آزمون شد، بنابراین این ماده از طریق یک مکانیسم محیطی آثار خود را اعمال می‌کند که نتایج تحقیق حاضر بیانگر این نظر است.

نتایج به‌دست آمده در این بررسی نشان داد که تجویز دراز مدت کورکومین در دوز بالا به میزان ۵۰ میلی‌گرم بر کیلوگرم در گروه دیابتی موجب کاهش معنی‌دار پاسخ درد در دو مرحله حاد و مزمن آزمون فرمالین در موش‌های دیابتی می‌شود که خود دلیلی بر اعمال آثار مرکزی و محیطی آن و بخشی از آن احتمالاً به علت اعمال آثار ضد التهابی است. در همین ارتباط شواهد تحقیقاتی قبلی نشان می‌دهد که اثر ضد دردی تجویز سیستمیک کورکومین تا حدی نیز مربوط به کاهش سطح متابولیت‌های نیتریک اکسید نظیر نیتريت و نترات در بافت مغز [۱۴] و بخشی هم می‌تواند به علت کاهش یافتن سطح فاکتور نکروز تومور آلفا (Tumor Necrosis Factor Alpha) در سرم [۱۴] و اعمال اثرهای آنتاگونیستی (Antagonism Effects) از

طرف کورکومین بر کانال‌های وانیلوئید تیپ ۱ (Vanilloid Type 1) باشد [۲۴]. به علاوه؛ برخی محققان بر این باورند که تجویز محیطی و دراز مدت کورکومین موجب تغییر فعالیت سیستم منوآمینرژیک (Monoaminergic System) نخاع می‌شود که خود این سیستم با سیستم ضد دردی اوپیوئیدرژیک (Opioidergic System) شاخ خلفی در ارتباط است [۱۵]. بنابراین تشدید فعالیت این مسیر به علت تجویز کورکومین می‌تواند سرکوب نسبی پاسخ‌های درد را در بدن به دنبال داشته باشد [۱۵]. در تأیید این گفته‌ها، محققان نشان داده‌اند که تزریق آنتاگونیست‌های سروتونرژیک و آدرنرژیک (Adrenergic and Serotonin Antagonists) موجب حذف معنی‌دار آثار ضد دردی کورکومین در مدل‌های تجربی درد نوروپاتیک می‌شود [۱۵]. با توجه به این‌که کورکومین می‌تواند به راحتی و به مقدار کافی از میان سد خونی مغزی عبور نماید [۲۵] بنابراین این احتمال وجود دارد که بخشی از اثرهای ضد دردی آن در این تحقیق به علت اثر آن در تسهیل انتقال در مسیر سروتونرژیک و آدرنرژیک باشد که این نکته به تحقیقات بیشتری نیاز دارد.

بخشی دیگر از آثار سودمند کورکومین بر پاسخ درد در این بررسی را می‌توان به توانایی آن در حذف رادیکال‌های آزاد اکسیژن و اعمال آثار آنتی‌اکسیدانی توسط آن نسبت داد [۹]. در نتایج بررسی‌های قبلی این باره نشان می‌دهد که کورکومین از طریق کاهش پراکسیداسیون لیپیدی موجب کاهش شدت التهاب و در نتیجه کاهش شدت عوارض بافتی می‌شود [۹، ۱۰] که از این طریق احتمالاً می‌تواند شدت درد را در آزمون فرمالین کاهش دهد. همچنین بخش دیگر از آثار ضد دردی کورکومین در این تحقیق را می‌توان به اثر پایین آورندگی گلوکز توسط این ماده نسبت داد که موجب کاهش تغییرات در اعصاب محیطی و التهاب ناشی از آن می‌شود که در تحقیق حاضر به خوبی مشاهده شد. در همین رابطه دیابت قندی با تشدید روند استرس اکسیداتیو همراه بوده و بخشی از تغییرات بیوشیمیایی خون در دیابت قندی به‌ویژه در دیابت وابسته به انسولین از این طریق توجیه می‌شود [۱]. بنابراین بخشی از آثار



### اثر ضد دردی کورکومین در موش صحرایی دیابتی

سودمند این ماده از طریق کاهش پراکسیداسیون لیپیدی در نواحی محیطی بدن اعمال می‌شود.

## تشکر و قدردانی

نویسندگان مقاله مراتب تشکر وافر خود را از سرکار خانم فریبا انصاری کارشناس گروه فیزیولوژی دانشکده پزشکی برای کمک در انجام آزمایش‌ها اعلام می‌دارند.

سودمند کورکومین در تحقیق حاضر را می‌توان به کاهش دادن پراکسیداسیون لیپیدی و استرس اکسیداتیو (Oxidative Stress) نسبت داد که این با نتایج تحقیقات قبلی در مورد اثر کورکومین همخوانی دارد [9].

به‌طور خلاصه تجویز دراز مدت کورکومین موجب کاهش شدت احساس درد در دو مرحله حاد و مزمن آزمون فرمالین در مدل تجربی دیابت قندی القا شده توسط استرپتوزوتوسین می‌شود و آستانه درد حرارتی را افزایش می‌دهد و بخشی از آثار

## منابع

- [1] Tripathi BK, Srivastava AK. Diabetes mellitus: complications and therapeutics. *Med Sci Monit* 2006, 12(7): RA130-47.
- [2] Gleckman R, Morr J. Diabetes-related foot infections. *Contemp Intern Med* 1994; 6(8): 57-64.
- [3] Galer BS, Gianas A, Jensen MP. Painful diabetic polyneuropathy: epidemiology, pain description, and quality of life. *Diabetes Res Clin Pract* 2000; 47(2): 123-8.
- [4] Dobretsov M, Hastings SL, Romanovsky D, Stimers JR, Zhang JM. Mechanical hyperalgesia in rat models of systemic and local hyperglycemia. *Brain Res* 2003; 960(1-2): 174-83.
- [5] Dobretsov M, Hastings SL, Stimers JR, Zhang JM. Mechanical hyperalgesia in rats with chronic perfusion of lumbar dorsal root ganglion with hyperglycemic solution. *J Neurosci Methods* 2001; 110(1-2): 9-15.
- [6] Raz I, Hasdai D, Seltzer Z, Melmed RN. Effect of hyperglycemia on pain perception and on efficacy of morphine analgesia in rats. *Diabetes* 1988; 37(9): 1253-9.
- [7] Nakamura-Craig M, Follenfant RL. Effect of lamotrigine in the acute and chronic hyperalgesia induced by PGE2 and in the chronic hyperalgesia in rats with streptozotocin-induced diabetes. *Pain* 1995; 63(1): 33-7.
- [8] Ataie A, Sabetkasaei M, Haghparast A, Moghaddam AH, Ataee R, Moghaddam SN. Curcumin exerts neuroprotective effects against homocysteine intracerebroventricular injection-induced cognitive impairment and oxidative stress in rat brain. *J Med Food* 2010; 13(4):821-6.
- [9] Dairam A, Fogel R, Daya S, Limson JL. Antioxidant and iron-binding properties of curcumin, capsaicin, and S-allylcysteine reduce oxidative stress in rat brain homogenate. *J Agric Food Chem* 2008; 14;56(9):3350-6.
- [10] Shukla PK, Khanna VK, Ali MM, Khan MY, Srimal RC. Anti-ischemic effect of curcumin in rat brain. *Neurochem Res* 2008; 33(6):1036-43.
- [11] Wang Y, Yu C, Pan Y, Yang X, Huang Y, Feng Z, Li X, Yang S, Liang G. A novel synthetic mono-carbonyl analogue of

- curcumin, A13, exhibits anti-inflammatory effects in vivo by inhibition of inflammatory mediators. *Inflammation* 2012; 35(2):594-604.
- [12] Patumraj S, Wongeakin N, Sridulyakul P, Jariyapongskul A, Futrakul N, Bunnag S. Combined effects of curcumin and vitamin C to protect endothelial dysfunction in the iris tissue of STZ-induced diabetic rats. *Clin Hemorheol Microcirc* 2006; 35(4):481-9.
- [13] Sharma S, Chopra K, Kulkarni SK. Effect of insulin and its combination with resveratrol or curcumin in attenuation of diabetic neuropathic pain: participation of nitric oxide and TNF-alpha. *Phytother Res* 2007; 21(3):278-83.
- [14] Sharma S, Kulkarni SK, Agrewala JN, Chopra K. Curcumin attenuates thermal hyperalgesia in a diabetic mouse model of neuropathic pain. *Eur J Pharmacol* 2006; 536(3):256-61.
- [15] Zhao X, Xu Y, Zhao Q, Chen CR, Liu AM, Huang ZL. Curcumin exerts antinociceptive effects in a mouse model of neuropathic pain: descending monoamine system and opioid receptors are differentially involved. *Neuropharmacology* 2012; 62(2):843-54.
- [16] Dubuisson D, Dennis SG. The formalin test: a quantitative study of the analgesic effects of morphine, meperidine, and brain stem stimulation in rats and cats. *Pain* 1977; 4(2):161-74.
- [17] Courteix C, Eschalier A, Lavarenne J. Streptozocin-induced diabetic rats: behavioural evidence for a model of chronic pain. *Pain* 1993; 53(1):81-8.
- [18] Ceseña RM, Calcutt NA. Gabapentin prevents hyperalgesia during the formalin test in diabetic rats. *Neurosci Lett* 1999; 262(2):101-4.
- [19] Sharma S, Kulkarni SK, Chopra K. Effect of resveratrol, a polyphenolic phytoalexin, on thermal hyperalgesia in a mouse model of diabetic neuropathic pain. *Fundam Clin Pharmacol* 2007; 21(1):89-94.
- [20] Calcutt NA. Potential mechanisms of neuropathic pain in diabetes. *Int Rev Neurobiol* 2002; 50: 205-28.
- [21] Piercy V, Banner SE, Bhattacharyya A, Parsons AA, Sanger GJ, Smith SA, Bingham S. Thermal, but not mechanical, nociceptive behavior is altered in the Zucker Diabetic Fatty rat and is independent of glycemic status. *J Diabet Complications* 1999; 13(3):163-9.
- [22] Shibata M, Ohkubo T, Takahashi H, Inoki R. Modified formalin test: characteristic biphasic pain response. *Pain* 1989; 38(3):347-52.
- [23] Rosland JH, Tjølsen A, Maehle B, Hole K. The formalin test in mice: effect of formalin concentration. *Pain* 1990; 42(2):235-42.
- [24] Yeon KY, Kim SA, Kim YH, Lee MK, Ahn DK, Kim HJ, Kim JS, Jung SJ, Oh SB. Curcumin produces an antihyperalgesic effect via antagonism of TRPV1. *J Dent Res* 2010; 89(2):170-4.
- [25] Tsai YM, Chien CF, Lin LC, Tsai TH. Curcumin and its nano-formulation: the kinetics of tissue distribution and blood-brain barrier penetration. *Int J Pharm* 2011; 416(1):331-8.